



NetWorks Sp. z o.o.  
Laboratorium Badań Środowiskowych  
ul. Józefa Piusa Dziekońskiego 3  
00-728 Warszawa  
e-mail: [Laboratorium@networks.pl](mailto:Laboratorium@networks.pl)



AB 419

S P R A W O Z D A N I E 1362/2024/OS  
Z POMIARÓW PÓL ELEKTROMAGNETYCZNYCH  
WYKONANYCH DLA POTRZEB OCHRONY ŚRODOWISKA

Badany obiekt: Instalacja radiokomunikacyjna T-Mobile Polska S.A.  
Numer i nazwa: 59163 (21163N!) KPR\_RADYMNO\_ZLOTAGORA11  
Adres: RADYMNO, ZŁOTA GÓRA 11, Powiat jarosławski, WOJ. PODKARPACKIE

Data wykonania pomiarów: 2024-04-09

Sprawozdanie z badań bez pisemnej zgody laboratorium nie może być powielane inaczej niż w całości.  
Wynik przedstawione w niniejszym sprawozdaniu odnoszą się wyłącznie do badanego obiektu i do warunków i konfiguracji urządzeń w dniu wykonywania pomiarów.

**1. Właściciel badanego obiektu:**

T-Mobile Polska S.A., ul. Marynarska 12, 02-674 Warszawa

**2. Zleceniodawca:**

T-Mobile Polska S.A., ul. Marynarska 12, 02-674 Warszawa

**3. Przedstawiciel zleceniodawcy:**

NetWorks Sp. z o.o.

**4. Zakres zlecenia:**

Wykonanie badania i opracowanie sprawozdania z pomiarów natężenia pola elektrycznego i pola magnetycznego dla instalacji radiokomunikacyjnej T-Mobile Polska S.A. zlokalizowanej w miejscowości RADYMNO, ŻŁOTA GÓRA 11.

**5. Cel zlecenia:**

Wykonanie pomiarów pól elektromagnetycznych w otoczeniu instalacji radiokomunikacyjnej 59163 (21163N!) KPR\_RADYMNO\_ZLOTAGORA11 w odniesieniu do wymagań określonych w *Rozporządzeniu Ministra Klimatu z dnia 17 lutego 2020 r. w sprawie sposobów sprawdzania dotrzymania dopuszczalnych poziomów pól elektromagnetycznych w środowisku (Dz.U. 2022 poz. 2630)*.

**6. Pomiary zostały wykonane przez:**

Gucwa Mateusz  
Supernak Jacek

**7. Informacje o źródłach pól elektromagnetycznych**

**7.1. Sposób identyfikacji badanych źródeł pól elektromagnetycznych**

Identyfikacji źródeł i parametrów technicznych dokonano na podstawie analizy dokumentacji dotyczącej zlecenia oraz obserwacji miejsca wykonywania badań.

**7.2. Opis miejsca zainstalowania anten i urządzeń technicznych. Opis obiektu badań i jego otoczenia**

Instalacja radiokomunikacyjna zlokalizowana jest na terenie ogrodzonym. Anteny zawieszono na wieży kratowej. Urządzenia sterujące oraz zasilające zainstalowano w kontenerze u podstawy wieży. Wokół instalacji znajdują się tereny przemysłowe, hale tereny zielone. Instalacja radiokomunikacyjna jest obiektem bezobsługowym. Okresowe stanowiska pracy związane są z prowadzonymi w zależności od potrzeb konserwacjami, przeglądami, strojeniem i naprawami.

7.3. Parametry techniczne źródła pola elektromagnetycznego

Dane przedstawiające maksymalne parametry pracy instalacji przekazane przez zleceniodawcę:

Parametry systemu nadawczo-odbiorczego:

Charakterystyka promieniowania		kierunkowa					
Rzeczywisty czas pracy [h/dobę]		24					
Warunki pracy		znamionowe					
Rodzaj wytwarzanego pola		stacjonarne					
Lp.	Częstotliwość lub zakresy częstotliwości pracy [MHz]	Typ/producent anteny	liczba anten	Azymut [°]	kąt pochylenia [°]	Wysokość środka elektrycznego anteny [m n.p.t.]	Równoważna moc promieniowana izotropowo (EIRP) [W]
1	800/900/1800/2100/2600	RRV4-65D-R6 CommScope	1	70	2-12**/2-12**/2-12**/2-12**	39.5	30496
2	800/900/1800/2100/2600	RRV4-65D-R6 CommScope	1	190	2-12**/2-12**/2-12**/2-12**	39.5	30496
3	800/900/1800/2100/2600	RRV4-65D-R6 CommScope	1	310	2-12**/2-12**/2-12**/2-12**	39.5	32511

\* wskazane wartości kąta pochylenia anten, zgodnie z informacją uzyskaną od zleceniodawcy, są wartościami stałymi

\*\* pomiary wykonano zgodnie z pkt 13., ppkt 2 załącznika do Rozporządzenia Ministra Klimatu z dnia 17 lutego 2020 r. (Dz. U. 2022, poz. 2630).

Parametry radiolinii:

Charakterystyka promieniowania				kierunkowa			
Rzeczywisty czas pracy [h/dobę]				24			
Warunki pracy				znamionowe			
Rodzaj wytwarzanego pola				stacjonarne			
Lp.	Linia radiowa			Antena			
	Typ/ Producent	Częstotliwość pracy [GHz]	Równoważna moc promieniowana izotropowo (EIRP) [W]	Typ/ producent	Średnica anteny [m]	Azymut [°]	Wysokość zainstalowania n.p.t [m]
1.	RTN XMC-5D 23G 28MHz XPIC Huawei	23	5637	A23D80S06 Huawei	0.6	22	42.2
2.	RTN XMC-5D 18G 28MHz XPIC<w:br/>RTN 380AX 70/80GHz 250MHz Huawei	18/80	3244/5624	A18D80S06 Huawei	0.6	77	42
3.	RTN XMC-5D 23G 28MHz XPIC Huawei	23	5637	A23D80S06 Huawei	0.6	95	42.7
4.	RTN XMC-5D 18G 28MHz XPIC Huawei	18	5024	A18D06 Huawei	0.6	101	43.4
5.	RTN 380AX 70/80GHz 250MHz Huawei	80	7080	A80S06 Huawei	0.6	143	42.6
6.	RTN XMC-5D 18G 28MHz XPIC Huawei	18	3244	A18D80S06 Huawei	0.6	222	36.5
7.	NEC iPasolink 100E Harris Stratex	38	15	VHLP1-38 Andrew	0.3	320	43.2

Sprawozdanie z badań bez pisemnej zgody laboratorium nie może być powielane inaczej niż w całości.

Wynik przedstawione w niniejszym sprawozdaniu odnoszą się wyłącznie do badanego obiektu i do warunków i konfiguracji urządzeń w dniu wykonywania pomiarów.

7.4 Inne źródła pól elektromagnetycznych

Na podstawie informacji otrzymanych od użytkownika oraz obserwacji otoczenia miejsca wykonywania pomiarów stwierdzono występowanie innych źródeł pola-EM, pracujących w systemie: telefonii komórkowej (800MHz-2600MHz), linii radiowych (5GHz – 90GHz), które istotnie wpływają na wyniki pomiarów.

8. Opis pomiarów

8.1. Metoda badań

Zgodna z rozporządzeniem Ministra Klimatu z dnia 17 lutego 2020 r. w sprawie sposobów sprawdzania dotrzymania dopuszczalnych poziomów pól elektromagnetycznych w środowisku (Dz.U. 2022 poz. 2630), określona w pkt 25 ppkt 1 załącznika do niniejszego rozporządzenia.

8.2. Termin pomiarów i warunki środowiskowe

Podczas wykonywania pomiarów pól elektromagnetycznych nie występowały opady atmosferyczne. Wyniki pomiaru parametrów pogodowych przedstawia poniższa tabela:

Data [rrrr-mm-dd]	Godzina [hh:mm-hh:mm]	Warunki środowiskowe			
		Temperatura [°C]		Wilgotność względna [%]	
2024-04-09	17:15-18:35	Przed pomiarem	Po pomiarach	Przed pomiarem	Po pomiarach
		24.9	23.7	54.8	52.8

Przedstawione wyżej warunki środowiskowe, występujące podczas wykonywania pomiarów pól elektromagnetycznych, są zgodne ze specyfikacją techniczną użytego zestawu pomiarowego.

8.3. Warunki pracy urządzeń nadawczych

Podczas pomiarów w przypadku uzyskania wyniku pomiaru szerokopasmowego wykonanego zastosowaną metodą, dla zakresów częstotliwości od 10 MHz do 300 GHz, powiększonego o rozszerzoną niepewność pomiaru U dla współczynnika rozszerzenia  $k = 2$  przekraczającego 70% najniższej dopuszczalnej wartości składowej elektrycznej lub magnetycznej pola dla objętych pomiarami zakresów częstotliwości, uwzględnia się poprawki pomiarowe przekazane przez zleceniodawcę, umożliwiające uwzględnienie maksymalnych parametrów pracy instalacji zgodnie z pkt 7 załącznika do Rozporządzeniem Ministra Klimatu z dnia 17 lutego 2020 r. w sprawie sposobów sprawdzania dotrzymania dopuszczalnych poziomów pól elektromagnetycznych w środowisku (Dz. U. 2022, poz. 2630) zaznaczając, że wymagane jest wykonanie pomiaru z wykorzystaniem miernika selektywnego. W przypadku uzyskania wyniku pomiaru szerokopasmowego wykonanego zastosowaną metodą, dla zakresów częstotliwości od 10 MHz do 300 GHz, powiększonego o rozszerzoną niepewność pomiaru U dla współczynnika rozszerzenia  $k = 2$  nieprzekraczającego 70% najniższej dopuszczalnej wartości składowej elektrycznej lub magnetycznej pola dla objętych pomiarami zakresów częstotliwości, nie uwzględnia się poprawek pomiarowych.

8.4. Wyposażenie pomiarowe

Zestaw pomiarowy służący do pomiaru natężenia składowej elektrycznej pola elektromagnetycznego złożony z szerokopasmowego miernika i sondy pomiarowej:

Oznaczenie miernika	Producent	Model	Numer fabryczny	Oznaczenie sondy	Producent	Model	Numer fabryczny
MW-05	Wavecontrol	Miernik pól elektromagnetycznych SMP2	22SN2087	SW-09	Wavecontrol	Sonda WPF60	22WP230220

Mierniki natężenia pola elektromagnetycznego podlegają okresowemu sprawdzeniu zgodnie z procedurą wewnętrzną P-03 i PB-01. Świadectwo wzorcowania zestawu pomiarowego z dnia 4 listopada 2022 o numerze LWiMP/W/336/22 wydane przez Politechnika Wrocławską.  
Data ważności świadectwa wzorcowania: 4 listopada 2024 (zgodnie z procedurą wewnętrzną P-03).

Oznaczenie miernika	Producent	Model	Numer fabryczny	Oznaczenie sondy	Producent	Model	Numer fabryczny
MW-05	Wavecontrol	Miernik pól elektromagnetycznych SMP2	22SN2087	SW-10	Wavecontrol	Sonda WPF3-HP	22WP030449

Mierniki natężenia pola elektromagnetycznego podlegają okresowemu sprawdzeniu zgodnie z procedurą wewnętrzną P-03 i PB-01. Świadectwo wzorcowania zestawu pomiarowego z dnia 4 listopada 2022 o numerze LWIMP/W/336/22 wydane przez Politechnika Wrocławską.  
Data ważności świadectwa wzorcowania: 4 listopada 2024 (zgodnie z procedurą wewnętrzną P-03).

Termohigrometr:

Oznaczenie:	TH-17	Producent:	AZ INSTRUMENT CORP	Model:	Termohigrometr AZ8706
-------------	-------	------------	--------------------	--------	-----------------------

Data ważności świadectwa wzorcowania: 19 maja 2024 (zgodnie z procedurą wewnętrzną P-03).

Dalmierz:

Oznaczenie	Producent	Typ	Numer seryjny	Nr świadectwa wzorcowania	Data świadectwa wzorcowania
D-12	Leica	Dalmierz Leica Disto D510	1050632837	4665.2-M11-4180-1748/15	27 listopada 2015

Data ważności świadectwa wzorcowania: 27 listopada 2025 (zgodnie z procedurą wewnętrzną P-03).

Odbiornik GNSS:

Odbiornik GNSS wbudowany w miernik natężenia pola elektromagnetycznego użyty podczas pomiarów	Producent	Model
	UBlox	MAX-M8Q

Odbiorniki podlegają okresowemu sprawdzeniu zgodnie z procedurą wewnętrzną P-03.

9. Wyniki pomiarów

Pole elektryczne

Nr pionu	Opis umiejscowienia pionu (punktu) pomiarowego	Wysokość pomiaru [m]	Zmierzona wartość natężenia pola elektrycznego E [V/m] <sup>1,5</sup>			Wartość natężenia pola elektrycznego powiększona o niepewność pomiaru <sup>4</sup> E [V/m]	Wskaźnikowa wartość poziomu emisji pól elektromagnetycznych WME <sup>3</sup>	Współrzędne geograficzne pionu (punktu) pomiarowego <sup>2</sup>
			Sonda SW-09	Sonda SW-10	SUMA			
1	GKP w odległości 14m od anteny radioliniowej az. 22°	2.0	1.3	1.3	1.3	1.7	0.06	49°56'39.1" 22°49'50.5"
2	GKP w odległości 30m od anteny radioliniowej az. 22°	2.0	1.4	1.4	1.4	1.8	0.06	49°56'39.5" 22°49'50.9"
3	GKP w odległości 13m od anteny sektorowej az. 70°	2.0	1.3	1.3	1.3	1.7	0.06	49°56'38.8" 22°49'50.9"
4	GKP w odległości 52m od anteny sektorowej az. 70°	2.0	1.4	1.4	1.4	1.8	0.06	49°56'39.1" 22°49'52.7"
5	GKP w odległości 82m od anteny sektorowej az. 70°	2.0	1.6	1.6	1.6	2	0.07	49°56'39.5" 22°49'54.1"
6	GKP w odległości 110m od anteny sektorowej az. 70°	2.0	1.2	1.2	1.2	1.5	0.05	49°56'39.8" 22°49'55.6"
7	GKP w odległości 8m od anteny radioliniowej az. 77°	2.0	1.3	1.3	1.3	1.7	0.06	49°56'38.8" 22°49'50.5"
8	GKP w odległości 39m od anteny radioliniowej az. 77°	2.0	1.5	1.5	1.5	1.9	0.07	49°56'38.8" 22°49'52.3"
9	GKP w odległości 16m od anteny radioliniowej az. 95°	2.0	1.3	1.3	1.3	1.7	0.06	49°56'38.4" 22°49'50.9"

Sprawozdanie z badań bez pisemnej zgody laboratorium nie może być powielane inaczej niż w całości.  
Wynik przedstawione w niniejszym sprawozdaniu odnoszą się wyłącznie do badanego obiektu i do warunków i konfiguracji urządzeń w dniu wykonywania pomiarów.

10	GKP w odległości 35m od anteny radioliniowej az. 101°	2.0	1.4	1.4	1.4	1.8	0.06	49°56'38.4" 22°49'52.0"
11	GKP w odległości 13m od anteny radioliniowej az. 143°	2.0	1.3	1.3	1.3	1.7	0.06	49°56'38.0" 22°49'50.5"
12	GKP w odległości 38m od anteny radioliniowej az. 143°	2.0	1.4	1.4	1.4	1.8	0.06	49°56'37.7" 22°49'51.2"
13	GKP w odległości 10m od anteny sektorowej az. 190°	2.0	1.2	1.2	1.2	1.5	0.05	49°56'38.0" 22°49'50.2"
14	GKP w odległości 38m od anteny sektorowej az. 190°	2.0	1.5	1.5	1.5	1.9	0.07	49°56'37.3" 22°49'49.8"
15	GKP w odległości 69m od anteny sektorowej az. 190°	2.0	1.4	1.4	1.4	1.8	0.06	49°56'36.2" 22°49'49.4"
16	GKP w odległości 105m od anteny sektorowej az. 190°	2.0	1.5	1.5	1.5	1.9	0.07	49°56'35.2" 22°49'49.4"
17	GKP w odległości 10m od anteny radioliniowej az. 222°	0.3-2.0	<1.0*	<1.0*	<1.0*	1.3	0.05	49°56'38.4" 22°49'49.8"
18	GKP w odległości 42m od anteny radioliniowej az. 222°	0.3-2.0	<1.0*	<1.0*	<1.0*	1.3	0.05	49°56'37.3" 22°49'48.7"
19	GKP w odległości 9m od anteny radioliniowej az. 320°	2.0	1.2	1.2	1.2	1.5	0.05	49°56'38.8" 22°49'49.8"
20	GKP w odległości 25m od anteny sektorowej az. 310°	0.3-2.0	<1.0*	<1.0*	<1.0*	1.3	0.05	49°56'39.1" 22°49'49.1"
21	GKP w odległości 49m od anteny sektorowej az. 310°	2.0	1.4	1.4	1.4	1.8	0.06	49°56'39.5" 22°49'48.4"
22	GKP w odległości 104m od anteny sektorowej az. 310°	0.3-2.0	<1.0*	<1.0*	<1.0*	1.3	0.05	49°56'40.9" 22°49'46.2"
23	GKP w odległości 82m od anteny sektorowej az. 310°	2.0	1.5	1.5	1.5	1.9	0.07	49°56'40.2" 22°49'46.9"
24	GKP w odległości 48m od anteny radioliniowej az. 320°	2.0	1.3	1.3	1.3	1.7	0.06	49°56'39.8" 22°49'48.7"
25	PKP na az. 57° w odległości 29m od anteny radioliniowej az. 22°, narożnik budynku	2.0	1.4	1.4	1.4	1.8	0.06	49°56'39.1" 22°49'51.2"
26	PKP na az. 122° w odległości 30m od anteny radioliniowej az. 101°, narożnik budynku	0.3-2.0	<1.0*	<1.0*	<1.0*	1.3	0.05	49°56'38.0" 22°49'51.6"
27	PKP na az. 265° w odległości 26m od anteny radioliniowej az. 320°	0.3-2.0	<1.0*	<1.0*	<1.0*	1.3	0.05	49°56'38.4" 22°49'48.7"
-	GKP w odległości 377m od anteny sektorowej az. 310°	0.3-2.0	<1.0*	<1.0*	<1.0*	1.3	0.05	49°56'46.3" 22°49'35.8"
-	GKP w odległości 258m od anteny sektorowej az. 190°	0.3-2.0	<1.0*	<1.0*	<1.0*	1.3	0.05	49°56'30.1" 22°49'48.0"
-	GKP w odległości 568m od anteny sektorowej az. 70°	2.0	1.3	1.3	1.3	1.7	0.06	49°56'44.9" 22°50'17.2"

Sprawozdanie z badań bez pisemnej zgody laboratorium nie może być powielane inaczej niż w całości.  
Wynik przedstawione w niniejszym sprawozdaniu odnoszą się wyłącznie do badanego obiektu i do warunków i konfiguracji urządzeń w dniu wykonywania pomiarów.

Pole magnetyczne (wyznaczone na podstawie pomiaru wartości natężenia pola elektrycznego)

Nr pionu	Opis umiejscowienia pionu (punktu) pomiarowego	Wysokość pomiaru [m]	Wartość natężenia pola magnetycznego H [A/m] <sup>1</sup>			Wartość natężenia pola magnetycznego powiększona o niepewność pomiaru <sup>4</sup> H [A/m]	Wskaźnikowa wartość poziomu emisji pól elektromagnetycznych WM <sub>H</sub> <sup>3</sup>	Współrzędne geograficzne pionu (punktu) pomiarowego <sup>2</sup>
			Sonda SW-09	Sonda SW-10	SUMA			
1	GKP w odległości 14m od anteny radioliniowej az. 22°	2.0	0.003	0.003	0.003	0.004	0.06	49°56'39.1" 22°49'50.5"
2	GKP w odległości 30m od anteny radioliniowej az. 22°	2.0	0.004	0.004	0.004	0.005	0.07	49°56'39.5" 22°49'50.9"
3	GKP w odległości 13m od anteny sektorowej az. 70°	2.0	0.003	0.003	0.003	0.004	0.06	49°56'38.8" 22°49'50.9"
4	GKP w odległości 52m od anteny sektorowej az. 70°	2.0	0.004	0.004	0.004	0.005	0.07	49°56'39.1" 22°49'52.7"
5	GKP w odległości 82m od anteny sektorowej az. 70°	2.0	0.004	0.004	0.004	0.005	0.07	49°56'39.5" 22°49'54.1"
6	GKP w odległości 110m od anteny sektorowej az. 70°	2.0	0.003	0.003	0.003	0.004	0.06	49°56'39.8" 22°49'55.6"
7	GKP w odległości 8m od anteny radioliniowej az. 77°	2.0	0.003	0.003	0.003	0.004	0.06	49°56'38.8" 22°49'50.5"
8	GKP w odległości 39m od anteny radioliniowej az. 77°	2.0	0.004	0.004	0.004	0.005	0.07	49°56'38.8" 22°49'52.3"
9	GKP w odległości 16m od anteny radioliniowej az. 95°	2.0	0.003	0.003	0.003	0.004	0.06	49°56'38.4" 22°49'50.9"
10	GKP w odległości 35m od anteny radioliniowej az. 101°	2.0	0.004	0.004	0.004	0.005	0.07	49°56'38.4" 22°49'52.0"
11	GKP w odległości 13m od anteny radioliniowej az. 143°	2.0	0.003	0.003	0.003	0.004	0.06	49°56'38.0" 22°49'50.5"
12	GKP w odległości 38m od anteny radioliniowej az. 143°	2.0	0.004	0.004	0.004	0.005	0.07	49°56'37.7" 22°49'51.2"
13	GKP w odległości 10m od anteny sektorowej az. 190°	2.0	0.003	0.003	0.003	0.004	0.06	49°56'38.0" 22°49'50.2"
14	GKP w odległości 38m od anteny sektorowej az. 190°	2.0	0.004	0.004	0.004	0.005	0.07	49°56'37.3" 22°49'49.8"
15	GKP w odległości 69m od anteny sektorowej az. 190°	2.0	0.004	0.004	0.004	0.005	0.07	49°56'36.2" 22°49'49.4"
16	GKP w odległości 105m od anteny sektorowej az. 190°	2.0	0.004	0.004	0.004	0.005	0.07	49°56'35.2" 22°49'49.4"
17	GKP w odległości 10m od anteny radioliniowej az. 222°	0.3-2.0	<0.003*	<0.003*	<0.003*	0.003	0.05	49°56'38.4" 22°49'49.8"
18	GKP w odległości 42m od anteny radioliniowej az. 222°	0.3-2.0	<0.003*	<0.003*	<0.003*	0.003	0.05	49°56'37.3" 22°49'48.7"
19	GKP w odległości 9m od anteny radioliniowej az. 320°	2.0	0.003	0.003	0.003	0.004	0.06	49°56'38.8" 22°49'49.8"
20	GKP w odległości 25m od anteny sektorowej az. 310°	0.3-2.0	<0.003*	<0.003*	<0.003*	0.003	0.05	49°56'39.1" 22°49'49.1"

Sprawozdanie z badań bez pisemnej zgody laboratorium nie może być powielane inaczej niż w całości.  
Wynik przedstawione w niniejszym sprawozdaniu odnoszą się wyłącznie do badanego obiektu i do warunków i konfiguracji urządzeń w dniu wykonywania pomiarów.

21	GKP w odległości 49m od anteny sektorowej az. 310°	2.0	0.004	0.004	0.004	0.005	0.07	49°56'39.5" 22°49'48.4"
22	GKP w odległości 104m od anteny sektorowej az. 310°	0.3-2.0	<0.003*	<0.003*	<0.003*	0.003	0.05	49°56'40.9" 22°49'46.2"
23	GKP w odległości 82m od anteny sektorowej az. 310°	2.0	0.004	0.004	0.004	0.005	0.07	49°56'40.2" 22°49'46.9"
24	GKP w odległości 48m od anteny radioliniowej az. 320°	2.0	0.003	0.003	0.003	0.004	0.06	49°56'39.8" 22°49'48.7"
25	PKP na az. 57° w odległości 29m od anteny radioliniowej az. 22°, narożnik budynku	2.0	0.004	0.004	0.004	0.005	0.07	49°56'39.1" 22°49'51.2"
26	PKP na az. 122° w odległości 30m od anteny radioliniowej az. 101°, narożnik budynku	0.3-2.0	<0.003*	<0.003*	<0.003*	0.003	0.05	49°56'38.0" 22°49'51.6"
27	PKP na az. 265° w odległości 26m od anteny radioliniowej az. 320°	0.3-2.0	<0.003*	<0.003*	<0.003*	0.003	0.05	49°56'38.4" 22°49'48.7"
-	GKP w odległości 377m od anteny sektorowej az. 310°	0.3-2.0	<0.003*	<0.003*	<0.003*	0.003	0.05	49°56'46.3" 22°49'35.8"
-	GKP w odległości 258m od anteny sektorowej az. 190°	0.3-2.0	<0.003*	<0.003*	<0.003*	0.003	0.05	49°56'30.1" 22°49'48.0"
-	GKP w odległości 568m od anteny sektorowej az. 70°	2.0	0.003	0.003	0.003	0.004	0.06	49°56'44.9" 22°50'17.2"

GKP – Główny Kierunek Pomiarowy

PKP – Pomocniczy Kierunek Pomiarowy

<sup>1</sup> wyniki oznaczone \* są wynikami poniżej czułości zestawu pomiarowego i są wynikami spoza zakresu akredytacji. Do obliczenia wyniku skorygowanego przyjęto wartość skorelowaną z rzeczywistym wynikiem pomiaru - dolną granicę akredytowanego zakresu pomiarowego metody

<sup>2</sup> współrzędne geograficzne pozyskane metodą pomiaru bezpośredniego

<sup>3</sup> do wyznaczenia wartości wskaźnikowej  $W_{ME}$  i  $W_{MH}$  przyjęto na podstawie uzgodnień z klientem oraz rozpoznania źródeł, jako wartości dopuszczalne pola elektrycznego i magnetycznego odpowiednio 28 V/m i 0,073 A/m.

<sup>4</sup> do wyznaczenia niepewności dla wyników poniżej czułości zestawu pomiarowego, przyjęto niepewność dla minimalnej wartości z zakresu pomiarowego.

<sup>5</sup> maksymalna wartość chwilowa

Niepewność oszacowano zgodnie z dokumentem P-03 „Procedura nadzoru nad wyposażeniem” w postaci niepewności rozszerzonej wynikającej z niepewności standardowej pomnożonej przez współczynnik rozszerzenia  $k=2$ .

Całkowita szacowana niepewność rozszerzona składowej E wynosi odpowiednio:

sonda SW-09: 27.9% dla częstotliwości do 3 GHz, sonda SW-10: 27.6% dla częstotliwości do 3 GHz

Umiejscowienie pionów (punktów) pomiarowych przedstawiono w załączniku nr 2 do niniejszego sprawozdania.

## 10. Omówienie wyników pomiarów

W związku z tym, że żadna z wartości zmierzonych, udokumentowanych w tabelach w pkt. 9, uzyskanych w skutek zastosowania pomiaru szerokopasmowego, powiększonego o rozszerzoną niepewność pomiaru  $U$  dla współczynnika rozszerzenia  $k = 2$  nie przekroczyła 70% najniższej dopuszczalnej wartości składowej elektrycznej lub magnetycznej pola dla objętych pomiarami zakresów częstotliwości, nie uwzględnia się poprawek pomiarowych.

W wyniku zastosowania sposobu sprawdzenia dotrzymania dopuszczalnych poziomów pól elektromagnetycznych w środowisku, zgodnie pkt 25 ppkt 1 Rozporządzenia Ministra Klimatu z dnia 17 lutego 2020 r. (Dz. U. 2022, poz. 2630), w związku z tym, że żadna z wartości wskaźnikowych, udokumentowanych w tabelach w pkt. 9 nie przekracza

Sprawozdanie z badań bez pisemnej zgody laboratorium nie może być powielane inaczej niż w całości.

Wynik przedstawione w niniejszym sprawozdaniu odnoszą się wyłącznie do badanego obiektu i do warunków i konfiguracji urządzeń w dniu wykonywania pomiarów.



wartości 1, stwierdza się, że w miejscach, w których wykonano pomiary w otoczeniu instalacji radiokomunikacyjnej 59163 (21163N!) KPR\_RADYMNO\_ZLOTAGORA11, dopuszczalne poziomy pól elektromagnetycznych w środowisku należy uznać za dotrzymane.

Miejsca niedostępne podczas wykonywania pomiarów wskazane zostały w pkt. 9 (Wyniki pomiarów) lub na załączniku przedstawiającym usytuowanie pionów pomiarowych.

## **11. Podstawa prawna**

- 1) Ustawa z dnia 27 kwietnia 2001 r. Prawo ochrony środowiska (Dz.U. 2022 poz. 2556)
- 2) Rozporządzenie Ministra Zdrowia z dnia 17 grudnia 2019 r. w sprawie dopuszczalnych poziomów pól elektromagnetycznych w środowisku (Dz. U. 2019, poz. 2448)
- 3) Rozporządzenie Ministra Klimatu z dnia 17 lutego 2020 r. w sprawie sposobów sprawdzania dotrzymania dopuszczalnych poziomów pól elektromagnetycznych w środowisku (Dz. U. 2022, poz. 2630),
- 4) Akredytacja nr AB 419 wydana przez Polskie Centrum Akredytacji (wydanie 22, z dnia 9 stycznia 2024 r.)

## **12. Spis załączników**

Załącznik 1. Lokalizacja obiektu badań  
Załącznik 2. Usytuowanie pionów (punktów) pomiarowych  
Załącznik 3. Dokumentacja fotograficzna obiektu badań

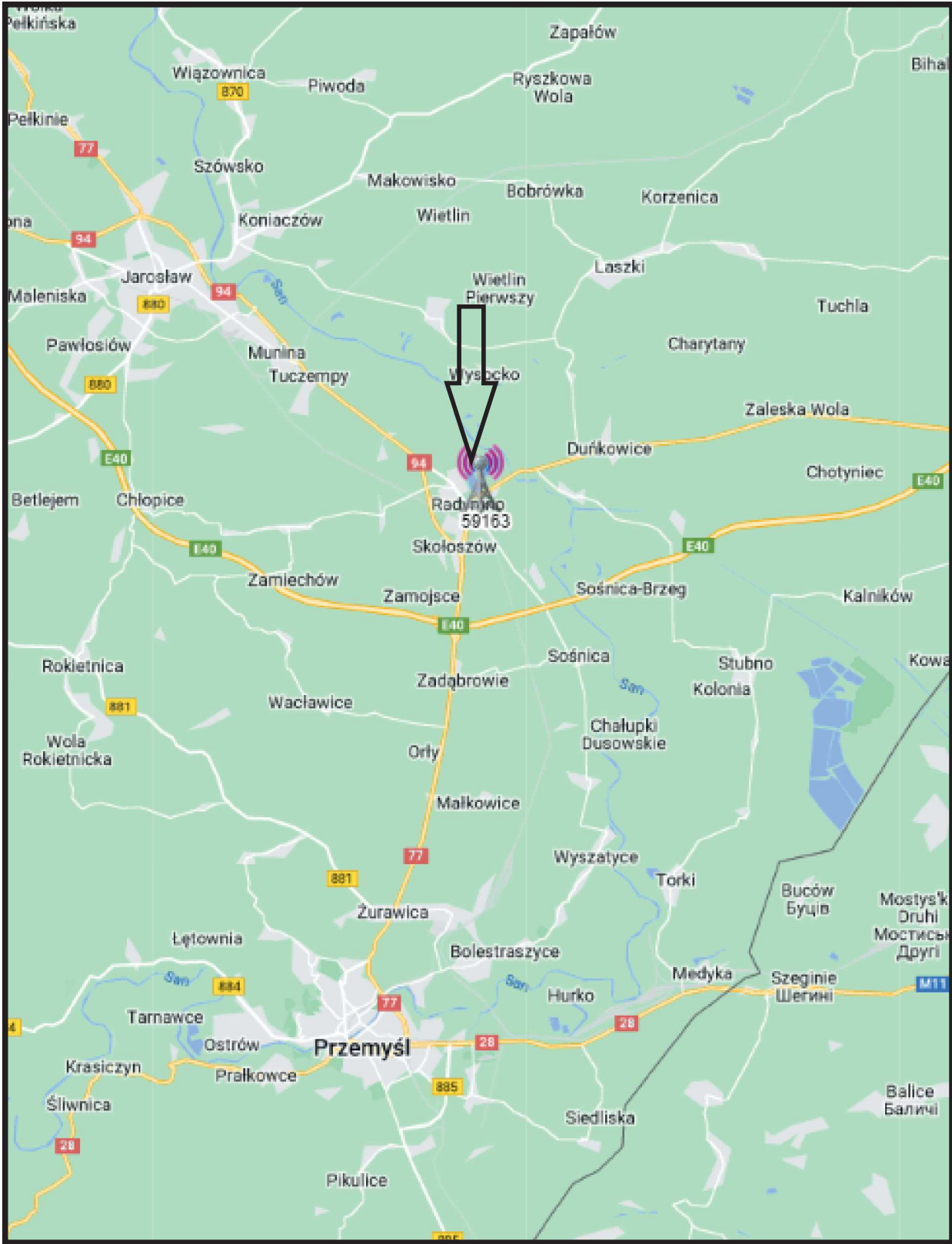
## **13. Data wydania i autoryzowania sprawozdania**

Obliczenia i sprawozdanie wykonał :

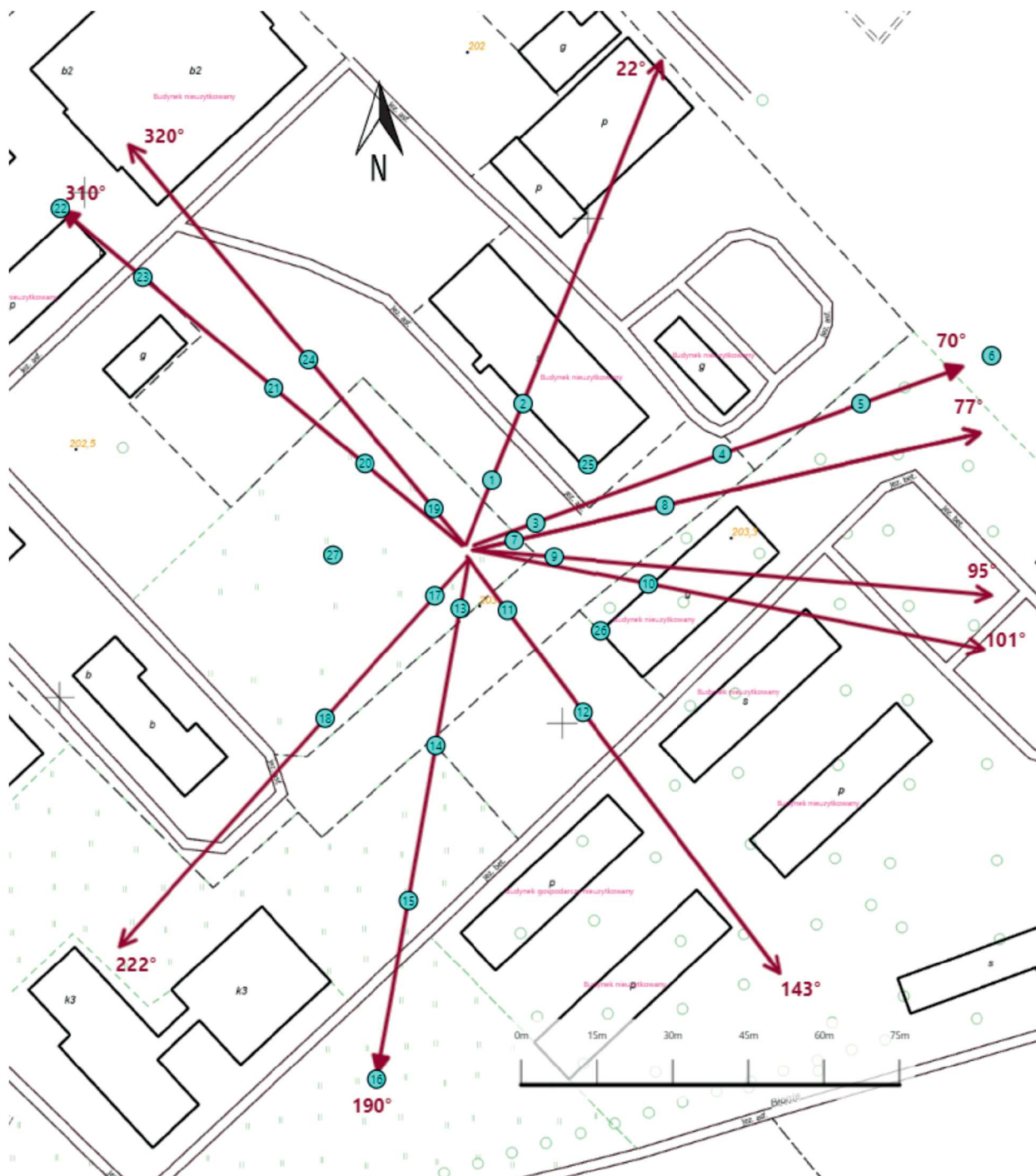
Sprawozdanie autoryzował:





**Koniec sprawozdania**

Sprawozdanie z badań bez pisemnej zgody laboratorium nie może być powielane inaczej niż w całości.  
Wynik przedstawione w niniejszym sprawozdaniu odnoszą się wyłącznie do badanego obiektu i do warunków i konfiguracji urządzeń w dniu wykonywania pomiarów.



Załącznik nr 1	<b>INSTALACJA RADIOKOMUNIKACYJNA T-Mobile Polska S.A. 59163 (21163N!) KPR_RADYMNO_ZLOTAGORA11</b> Lokalizacja instalacji radiokomunikacyjnej
----------------	---



Załącznik nr 2	<p>Instalacja radiokomunikacyjna T-Mobile Polska S.A.                      KPR_RADYMNO_ZLOTAGORA11 (21163N!)</p> <p>Usytuowanie pionów pomiarowych w otoczeniu instalacji radiokomunikacyjnej</p>
	<p>Legenda:</p> <div style="display: flex; justify-content: space-around; align-items: center;"> <div style="text-align: center;">                       Brak dostępu                 </div> <div style="text-align: center;">                       Pion pomiarowy                 </div> <div style="text-align: center;">                       Kierunek oddziaływania                      anten sektorowych                 </div> <div style="text-align: center;">                       Kierunek oddziaływania                      anten radioliniowych                 </div> </div>



**Załącznik nr 3**

**INSTALACJA RADIOKOMUNIKACYJNA T-Mobile Polska S.A. 59163 (21163N!) KPR\_RADYMNO\_ZLOTAGORA11**

Zdjęcia instalacji radiokomunikacyjnej